

МИНИСТЕРСТВО ОБРАЗОВАНИЯ И НАУКИ
РОССИЙСКОЙ ФЕДЕРАЦИИ

Федеральное агентство по образованию

УНИВЕРСИТЕТ ИТМО

Факультет компьютерных технологий и управления

Кафедра систем управления и информатики

Студент: Артемов Кирилл

группа Р4135

Вариант №2

ЛАБОРАТОРНАЯ РАБОТА №5

Синтез дискретных алгоритмов управления

Преподаватель

_____ Ю. В. Литвинов

«___» _____ 2016 г.

Санкт-Петербург, 2016 г.

1 Цель работы

Ознакомление с принципами синтеза дискретных регуляторов в случае системы слежения.

2 Вариант задания

Таблица 1: Параметры объекта управления

№	g_0	g_1	A_g	w_g	f_0	f_1	A_f	w_f
2	4	0	0	0	3.26	3.95	0	0

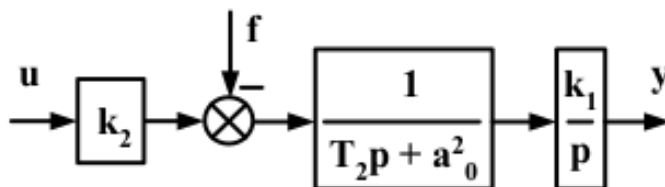


Рис. 1: Объект управления

3 Порядок выполнения работы

а) получение пмодели ВСВ

Модель «Вход-состояние-выход» непрерывного объекта управления описывается уравнениями:

$$\begin{cases} \dot{x}(t) &= Ax(t) + Bu(t) + B_f f \\ y(t) &= Cx(t) \end{cases} \quad (1)$$

С учетом заданных параметров в таблице 1, передаточная функция с рисунка 1 примет вид:

$$W(p) = \frac{k_1}{T_2 p + a_0^2} \frac{k_1}{p} = \frac{0.5}{0.95 p^2 + p} \quad (2)$$

Перейдем к канонической управляемой форме.

Для начала приведем передаточную функцию к виду с единичным старшим коэффициентом полинома.

$$W(p) = \frac{\frac{k_1 k_2}{T_2}}{p^2 + \frac{a_0^2}{T_2} p} = \frac{0.5263}{p^2 + 1.0526p} \quad (3)$$

Теперь приведем к канонически управляемой форме:

$$A = \begin{bmatrix} 0 & 1 \\ 0 & -1.0526 \end{bmatrix} \quad (4)$$

$$B = \begin{bmatrix} 0 \\ 1 \end{bmatrix} \quad (5)$$

$$C = \begin{bmatrix} 0.5263 & 0 \end{bmatrix} \quad (6)$$

Из рисунка 1 видно, что:

$$B_f = \begin{bmatrix} 0 \\ -1 \end{bmatrix} \quad (7)$$

б) переход к дискретному описанию

Дискретная система описывается разностными уравнениями:

$$\begin{cases} \dot{x}(k+1) &= A_d x(k) + B_d u(k) + B_{fd} f(k) \\ y(k) &= Cx(k) \end{cases} \quad (8)$$

Для перехода к дискретной системе воспользуемся программой в Scilab.

```

1 A = [0, -1; 0, -1.0526]
2 B = [0; 0.5263]
3 C = [1, 0];
4 Cd = C;
5 Ad = expm(A*T);
6 Bd = [0; 0];
7 for i=1:10
8     Bd = Bd + (A^(i-1) * T^i) ./ prod(1:i) * B;
9 end
10 Bd
11 Bfd = [0; 0];
12 for i=1:25
13     Bfd = Bfd + (A^(i-1) * T^i) ./ prod(1:i) * Bfd;
14 end
15 Bfd

```

Рис. 2: Программа расчета дискретных матриц

Заданный в соответствии с вариантом интервал дискретности $T = 0.5$ сек.

В результате выполнения программы получим следующие матрицы:

$$A_d = \begin{bmatrix} 1 & 0.3887642 \\ 0 & 0.5907868 \end{bmatrix} \quad (9)$$

$$B_d = \begin{bmatrix} 0.0556179 \\ 0.2046066 \end{bmatrix} \quad (10)$$

$$B_{fd} = \begin{bmatrix} -0.1056772 \\ -0.3887642 \end{bmatrix} \quad (11)$$

Матрица выходов системы не изменится:

$$C = C_d = \begin{bmatrix} 1 & 0 \end{bmatrix} \quad (12)$$

в) получение для дискретного входного воздействия модели ВСВ

Входное воздействие представлено линейной функцией:

$$g(k) = g_0 = 4 \quad (13)$$

Следовательно

$$\xi_g(k) = g(k) \quad (14)$$

$$\xi_g(k+1) = g(k+1) = g(k) \quad (15)$$

Таким образом, матрицы модели входного воздействия принимают вид:

$$\Gamma_g = [1], H_g = [1] \quad (16)$$

Модель принимает вид:

$$\begin{cases} \xi_g(k+1) &= \xi_g(k) \\ g(k) &= \xi_g(k) \end{cases} \quad (17)$$

Начальные условия:

$$\xi_g(0) = g_0 = 4 \quad (18)$$

г) моделирование входного воздействия

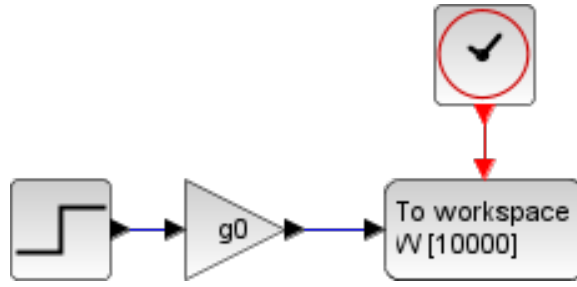


Рис. 3: Схема моделирования входного воздействия

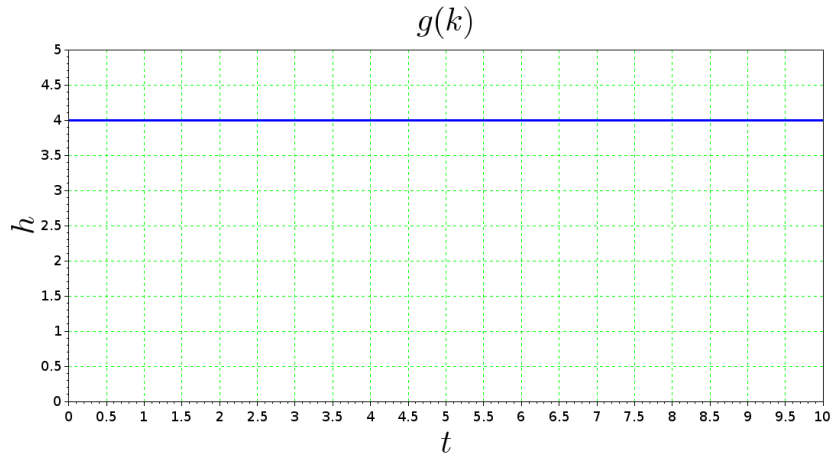


Рис. 4: Результаты моделирования входного воздействия

д) вывод по полученной модели входного воздействия

Входное воздействие представлено пропорциональным звеном. Генерируемый сигнал соответствует модели.

е) синтез следящего алгоритма

Проверим систему на полную управляемость:

$$\det(U_d) = \det \begin{bmatrix} 0.0790224 & 0.3069223 \\ 0.3463289 & 0.5862164 \end{bmatrix} = -0.0599719 \quad (19)$$

Так как матрица управляемости не вырождена, то система полностью управляема.

Проверим систему на полную наблюдаемость:

$$\det(Q_d) = \det \begin{bmatrix} 1 & 0 \\ 1 & 0.6580447 \end{bmatrix} = 0.6580447 \quad (20)$$

Так как матрица наблюдаемости не вырождена, то система является полностью наблюдаемой.

Чтобы построить оптимальную по быстродействию систему, необходимо назначить корни характеристического полинома следующим образом:

$$z_i^* = 0 \quad (21)$$

Далее, из желаемых корней составим эталонную модель, для чего составим следующие матрицы:

$$\Gamma = \begin{bmatrix} z_1^* & 1 & 0 \\ 0 & z_2^* & 1 \\ 0 & 0 & z_3^* \end{bmatrix} = \begin{bmatrix} 0 & 1 & 0 \\ 0 & 0 & 1 \\ 0 & 0 & 0 \end{bmatrix} \quad (22)$$

$$H = \begin{bmatrix} 1 & 0 & 0 \end{bmatrix} \quad (23)$$

Введем уравнения движения расширенного объекта, присоединив уравнение регулятора:

$$\begin{cases} v(k+1) = v(k) + g(k) - x_1(k) \\ x(k+1) = A_d x(k) + B_d u(k) \end{cases} \quad (24)$$

Представим расширенный вектор состояния:

$$\bar{x} = \begin{bmatrix} v \\ x \end{bmatrix} \quad (25)$$

Рассчитаем матрицы:

$$\bar{A}_d = \begin{bmatrix} 1 & -C_d \\ 0 & A_d \end{bmatrix} = \begin{bmatrix} 1 & -1 & 0 \\ 0 & 1 & 0.3887642 \\ 0 & 0 & 0.5907868 \end{bmatrix} \quad (26)$$

$$\bar{B}_d = \begin{bmatrix} 0 \\ B_d \end{bmatrix} = \begin{bmatrix} 0 \\ 0.0556179 \\ 0.2046066 \end{bmatrix} \quad (27)$$

Расширенная система примет вид:

$$\begin{cases} \bar{x}(k+1) = \bar{A}_d \bar{x}(k) + \bar{B}_d u(k) + B_g g(k) \\ u(k) = k_g g - \bar{k}_d \bar{x}(k) \end{cases} \quad (28)$$

$$\bar{x}(k+1) = (\bar{A}_d - \bar{B}_d \bar{k}_d) \bar{x}(k) + (k_g \bar{B}_d + B_g) g(k) \quad (29)$$

Теперь вычислим МЛСОС из системы с матричным уравнением типа Сильвестра.

$$\begin{cases} M\Gamma - \bar{A}_d M = \bar{B}_d H \\ K_d = -H M^{-1} \end{cases} \quad (30)$$

Расчет матрицы K_d произведем в среде моделирования *Scilab*:

$$M = \text{sylv}(-A_d, \Gamma, B_d * H, 'd'); \quad (31)$$

$$K_d = -H * M^{-1}; \quad (32)$$

$$K_d = \begin{bmatrix} k_1 & k_2 & k_3 \end{bmatrix} = \begin{bmatrix} -9.7748568 & 24.010399 & 6.1355721 \end{bmatrix} \quad (33)$$

ж) моделирование

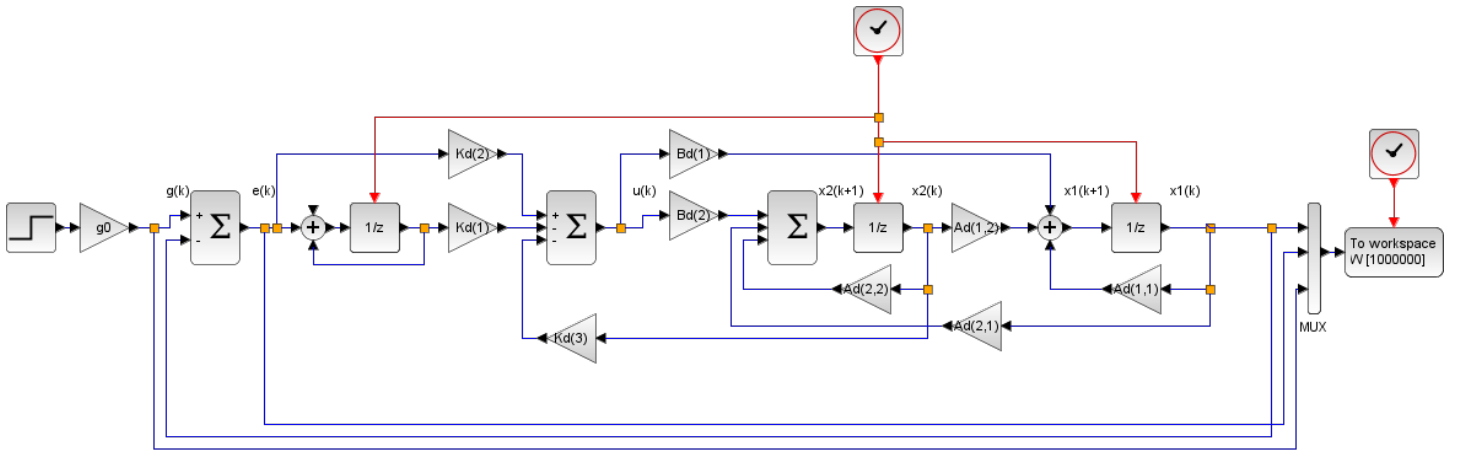


Рис. 5: Схема моделирования

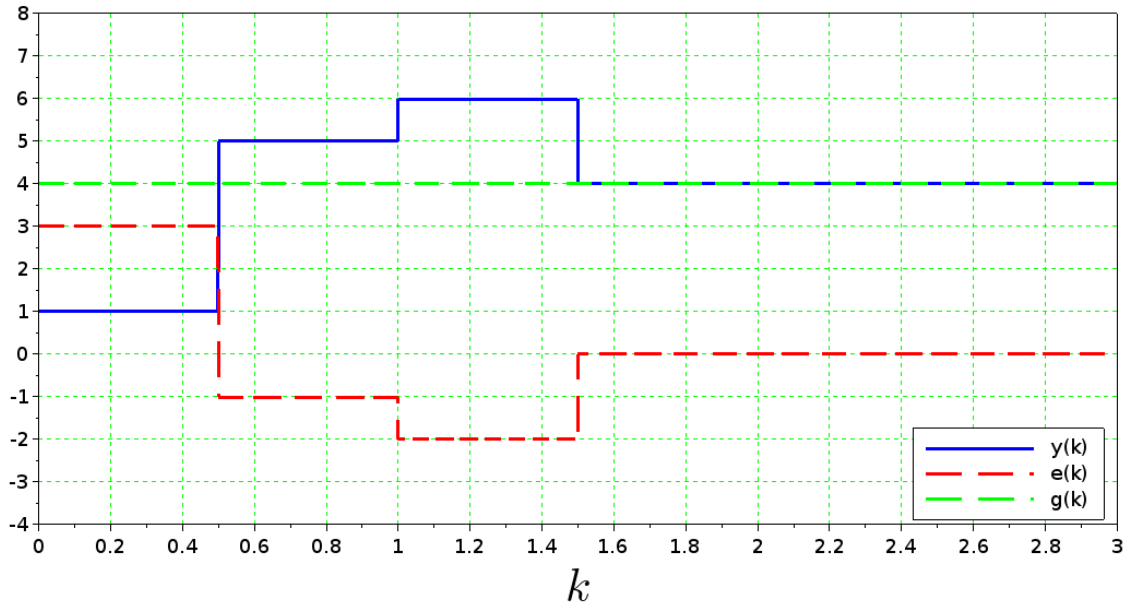


Рис. 6: Результаты моделирования

з) вывод по модели

Как видно из графиков на рисунке 6, синтезированный регулятор справляется с задачей слежения за задающим сигналом $g(k)$ достаточно хорошо, обеспечивая нулевую ошибку $e(k)$.

и) модель возмущающего воздействия

Согласно варианту:

$$f_0 = 3.26 \quad (34)$$

$$f_1 = 3.95 \quad (35)$$

$$T = 0.5 \quad (36)$$

Таким образом, возмущающее воздействие представляет собой линейно-нарастающую функцию:

$$g(k) = f_0 + f_1 k T = 3.26 + 1.975k \quad (37)$$

Представим возмущающее воздействие в виде модели в пространстве состояний:

$$\begin{cases} \xi_g(k+1) &= \Gamma_g \xi(k) \\ g(k) &= H_g \xi(k) \end{cases} \quad (38)$$

Найдем переменные состояния:

$$g(k) = 3.26 + 1.975k \quad (39)$$

$$\xi(k) = g(k) \quad (40)$$

$$\xi(k+1) = 3.26 + 1.975k + 1.975 = \xi(k) + 1.975 \quad (41)$$

Отсюда, найдем матрицы:

$$\Gamma_g = [1] \quad (42)$$

$$H_g = [1] \quad (43)$$

Модель примет вид:

$$\begin{cases} \xi_g(k+1) &= \xi(k) + 1.975 \\ g(k) &= \xi(k) \end{cases} \quad (44)$$

Начальные условия, при $k = 0$:

$$\xi(0) = 3.26 \quad (45)$$

На основе полученной модели и начальных условий, произведем моделирование.

к) моделирование возмущающего воздействия

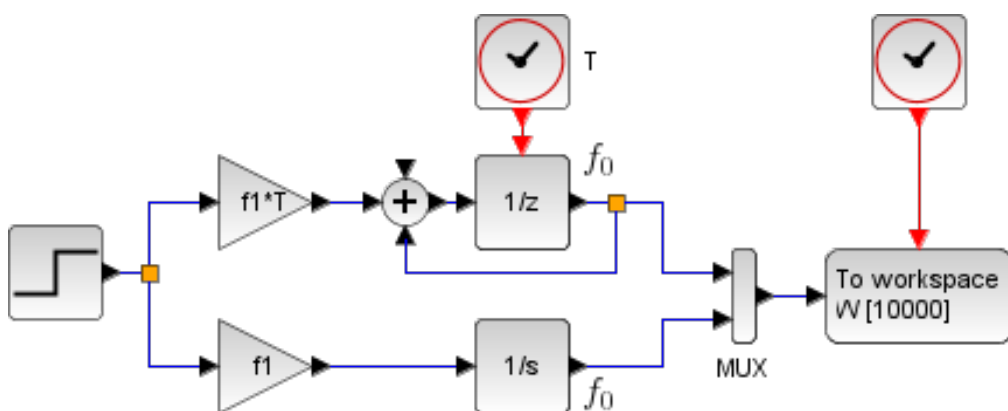


Рис. 7: Схема моделирования

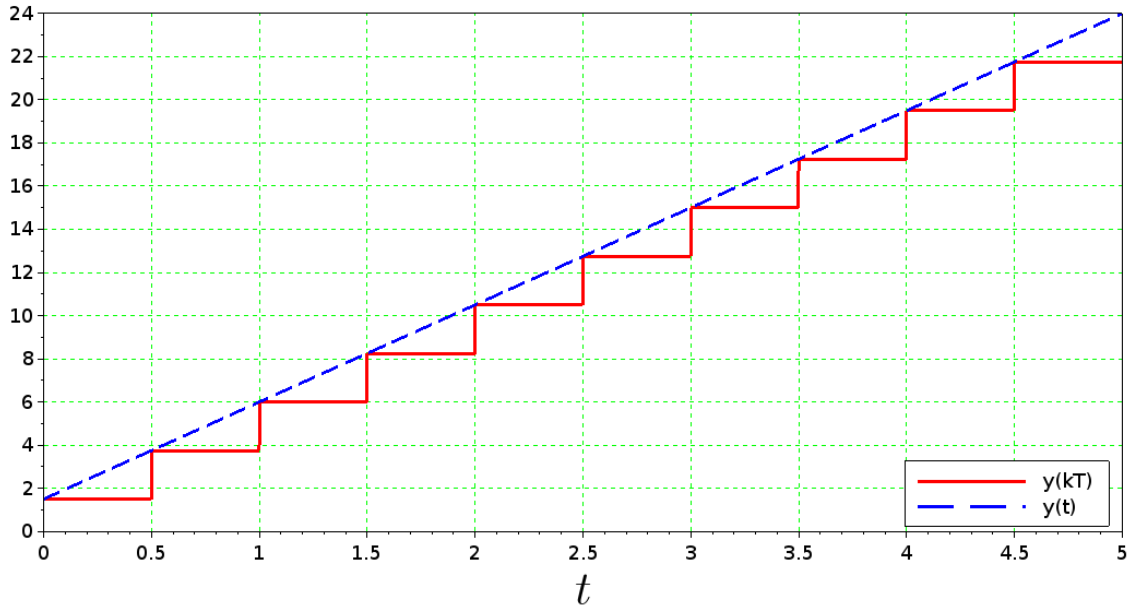


Рис. 8: Результаты моделирования

Непрерывный задающий сигнал был получен методом последовательного дифференцирования:

$$g(t) = 3.26 + 3.95t \quad (46)$$

$$\dot{g}(t) = 3.95 \quad (47)$$

$$g(0) = 3.26 \quad (48)$$

л) анализ полученной модели

Как видно из рисунка 8, полученная дискретная модель точно соответствует модели, генерирующей непрерывный аналог сигнала вида. Следовательно, можно сделать вывод о состоятельности модели.

м) Синтез алгоритмов управления, обеспечивающих нулевую установившуюся ошибку замкнутой системы при наличии возмущений

В случае наличия возмущающих воздействий, в регуляторе появляется соответствующая прямая связь и управляющее воздействие определяется уравнением:

$$u(k) = k_1 g(k) - \bar{k} \bar{x}(k) - k_f x_f(k) \quad (49)$$

где k_f – матрица линейных прямых связей от возмущающего воздействия, $x_f(k)$ – вектор состояния возмущающего воздействия.

Матрицу k_f найдем из уравнения:

$$B_d k_f = B_{fd} H_f \quad (50)$$

$$\begin{bmatrix} 0.0556179 * k_{f1} \\ 0.2046066 * k_{f1} \end{bmatrix} = \begin{bmatrix} -0.1056772 \\ -0.3887642 \end{bmatrix} \quad (51)$$

откуда

$$k_f = \begin{bmatrix} -1.9 & 0 \end{bmatrix} \quad (52)$$

н) Моделирование замкнутой системы при наличии возмущающего воздействия

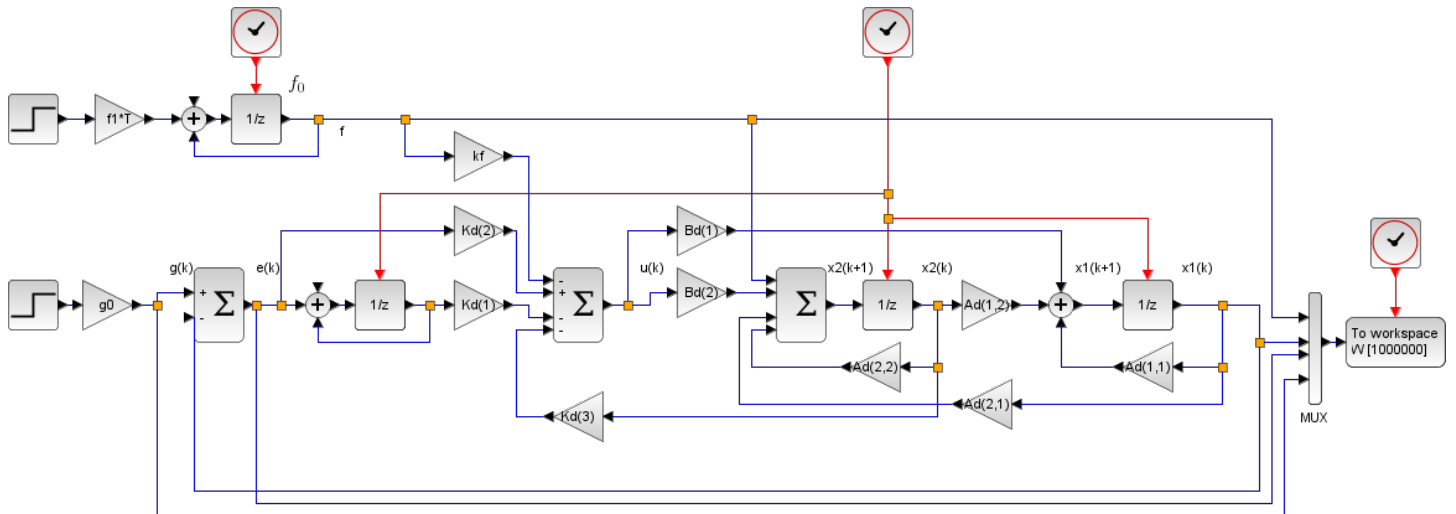


Рис. 9: Схема моделирования

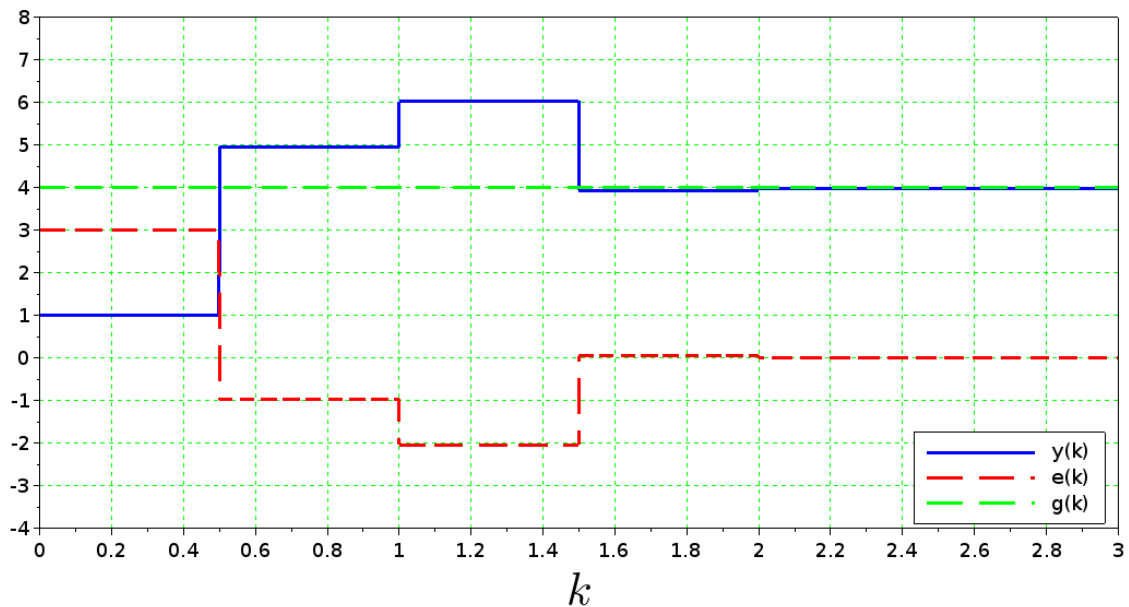


Рис. 10: Результаты моделирования

о) анализ результатов моделирования

Рисунок 10 показывает, что несмотря на возмущения, регулятор справляется со своей задачей и сводит ошибку к нулю

3.1 Заключение

В ходе работы были освоены принципы синтеза дискретных регуляторов для систем слежения. С задачей слежения за линейным сигналом великолепно справляется интегральный регулятор, сводящий ошибку слежения в ноль даже в случае присутствия возмущающих воздействий.